

フロックブランケットの除去効果

北大工学部 助教授

丹保 寛仁

大学院D.C 穂積 準

日立製作所 小俣 勝邦
(北大研究生)

1. はじめに

接觸高濃度凝集沈殿池の2つの大きな分類の1つであるフロックブランケット型における微フロック、濁質等の除去のメカニズムについては実用化されて久しい今日でも猶ひよく解かっていらない。そこで筆者はパイロットプラント($30 \text{ m}^3/\text{d}$)およびモデルプラント($1 \text{ m}^3/\text{d}$)を用いて、フロックブランケット型の除濁効果の実験研究を行ない、その機構について若干の知見をえたものであるに報告する。

2. パイロットプラント($30 \text{ m}^3/\text{d}$)による予備的研究

実験装置・実験に用いたのは図-1に示すような標準型式のフロックブランケット型であり、実験は札幌市篠路浄水場構内で浄水場の注満済み原水を用いて行なった。インペラーの回転数は全実験期間を通じて 4.4 r.p.m. に固定した。

実験方法：実験は種々フロック体積率(F.V)を変えて攪拌コーン内部(図-1のB部)と外部ブランケット部(図-1のC部)の各深さから不搅乱攪拌し、30分沈降後そのF.Vと工灌水濃度を求めた。不搅乱攪拌はC部に攪拌栓を付してガラス管を用い、栓を閉じてまず所定の水深にガラス管の先端が水面上のように挿入し、栓を少しずつあけて静かにフロック懸濁液を管下端より流入させ、所定量流入したら栓を閉じて、下端が水面直下に来るまで静かに引上げる。水面直下でガラス管底部をゴム栓で閉じ、槽外に移して所要時間静置した後、測定を行なう。

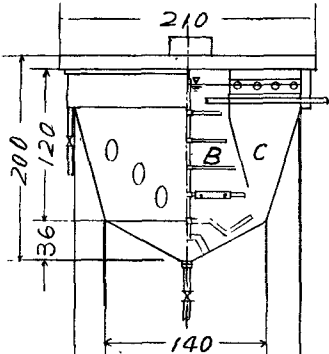


図-1

実験結果：このようにして得られた実験データーの内、ブランケットのF.Vの大きなものと、小さなものの2例について示すと図-2、図-3のようである。

これらの図を見て直ちに理解できるように流入水中の濃度は内部コーンの内では母フロックとの強制接觸攪拌によって合一されてしまい、フロックブランケットは簡単に母フロック群の工方への脱離を起さないための抑止効果を持つといふにすぎないようと思われる。

唯、この際内部コーンの母フロックは強制攪拌をうけたり明りかに小径で、フロックブランケット下部でこれら小型の母フロックの大型母フロックとの衝突は見られぬであろうが、図の深さ80cmの点が内外部を分けるコーンの下端であることと30分沈降の工灌水についての実験であることを考えるとこの図中にこの結果はあらわれてこない。

いずれにしてもマイクロフロックの吸合は強制攪拌を行なつている内部ローンで進行し、ブランケットは静的(非接觸)分離を行なう場合を除いてはいふにすぎない事が推論される。

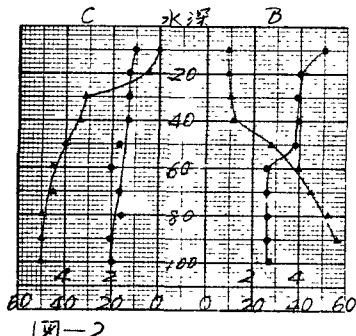


図-2

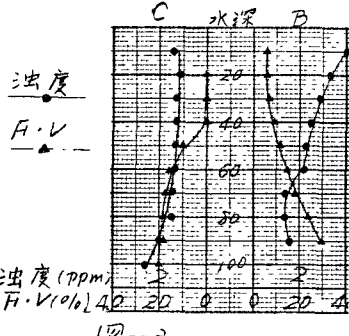


図-3

よって研究室内で検討することとした。

3-1 実験装置

実験のフローチートは図-4のようである。フロック形成槽群槽においては所定の回転数（したがって所定のエネルギー消費量）で槽群が運行され、フロックはその攪拌強度下の最大成長径にまで達するに充分な時間が与えられる。フロック形成槽の滞留時間が沈殿部の上昇速度（したがって全処理流量）を変えることによって変化する影響を最小限にするため有効槽群強度を $10^{-5} \text{ erg/cm}^2 \text{ sec}$ 程度（後述）と高くとり、この強槽群に充分耐えうる様アルギン酸リーダーを多量に添加してフロックを強化した。

所定の槽群強度でフロック形成を終えた懸濁液は上昇流式沈殿槽 ($10 \times 35 \times 1850 \text{ mm}$) の下部から流入する。沈殿槽の流入口にはバッフルが設けられて流入時の動エネルギーによるブランケット下部の擾乱を減ずる様になっている。

沈殿槽内には母フロックによるブランケットが構成されおり、微フロックを含んだ水が通過するさい微フロックのみを衝突吸合して上澄水が表面から越流する。

3-2 実験条件

- 1) 原水: 北大工学部衛生工学科自家用井水を用いた。
- 2) 濁質: 市販の粗製カオリニスラリーを適量原水に加えて原水濁質とした。
- 3) 凝集剤として硫酸アルミニウム、アルカリ調整剤として水酸化ナトリウム、フロック形成補助剤としてアルギン酸リーダーを用いた。
- 4) 滞留時間: フロック形成槽における滞留時間は沈殿槽の表面負荷率を変化させることによつて変わつたが、表面負荷率 5 cm/min の時約 10 分間である。
- 5) ブランケット厚さの調節: フロックブランケット厚の調節は沈殿槽の側面に付して 1 個のバルブのいずれかを用ひマスラリーをブランケット上面から通時々き出すことによつて行なつた。

3-3 フロック形成槽群強度の算定

この実験プラントのフロック形成は非接觸型であるが、その槽群強度の測定を非接觸型を行なうことは非常に難かしいので、槽群強度の測定のみは接觸型で行なうこととした。この場合用いられる強

3. 小型モデルによる実験

上述の推論がどの様な運転条件の場合にも成り立つか否かと種々の強制槽群によるフロックブランケットの条件の組合せについて検討するため、より易易に広範な処理条件を作り出しうる小型モデルに

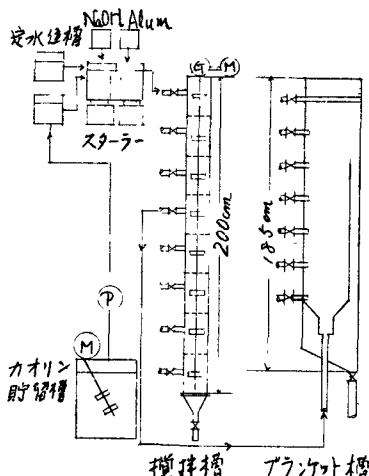


図-4

搅拌条件下における接觸フロック形成による微フロック数の減少は式-1によつて示される。

$$\frac{dn}{dt} = -3\pi\beta \sqrt{\frac{E_0}{\mu}} ND^3 n \\ = -18\beta \sqrt{\frac{E_0}{\mu}} V_f n \quad \dots \dots \dots \quad (1)$$

ここで、 n : 単位体積中の微フロック数 ($1/cm^3$)、 β : 比例定数(簡単のためミーとする)、 E_0 : 有効搅拌強度(単位時間に単位体積の流体中に及ぼす接觸フロック形成に有効なエネルギー) ($erg/cm^3 sec$)、 N : 単位体積の流体中にある母フロック個数 ($1/cm^3$)、 D : 母フロックの径 (cm)、 V_f : 単位体積中にある母フロックの体積(無次元)

単位体積の微フロック数 n と搅拌時間 t の間に比例関係があるとする。

$$\log T = -Kt + \log T_0 \quad \dots \dots \dots \quad (2)$$

ここで、 $K \approx 3\pi\sqrt{\frac{E_0}{\mu}} ND^3$ 、 T : t 秒搅拌後の工槽水濃度、 T_0 : 原水濃度、 t : 搅拌時間 (sec)

式-2を用いて搅拌インペラ一回転数を変えて行なつた実験の結果を半対数紙上にプロットしたものは図-5の様である。これから E_0 を計算し、回転数と、対応する粒径3者との関係を示したもののが図-6である。これから、 E_0 は $10^{-5} \sim 10^{-4} erg/cm^3 sec$ の間にあり、原水濃度200度、硫酸アルミニウム100 ppm、アルミニウムリーダー25 ppmを添加した時のフロック径は、回転数(エネルギー消費量)に応じて $0.5 \sim 0.1 mm$ の範囲内にあつた。

このように回転数と E_0 の間には回転数の3乗に E_0 が比例する関係があり、それに流体中の特性を示している。また粒径は回転数の一乗乗したがつて E_0 の $-\frac{1}{2}$ 乗の比例関係を示している。アルミニウムのみのフロックの場合にはこのようより比較的高い搅拌強度下ではむべく $0.1 mm$ 以下に粒径分布を有している。

3-4. フロックグラニケット内での除去式の適用

フロックグラニケット内における微フロックの減少を示す式は次のようである。

$$\frac{dn}{dt} = -C \frac{\pi}{4} w D^2 N n \quad \dots \dots \dots \quad (3)$$

$$\frac{dn}{dt} = -C \frac{\pi}{4} D^2 N n = -C \frac{3}{2} \frac{V_f}{D} n \quad \dots \dots \dots \quad (4)$$

ここで、 t : 接触時間 (sec)、 w : 母フロック群の沉降速度(フロックグラニケット部の工場流速

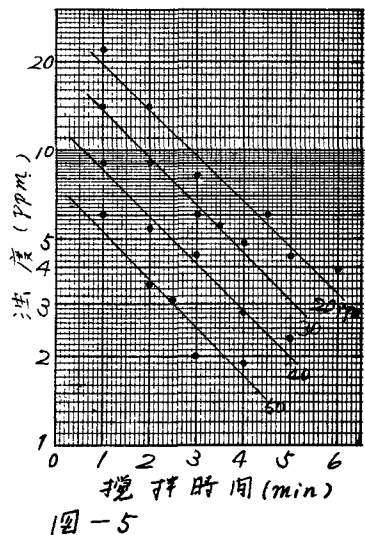


図-5

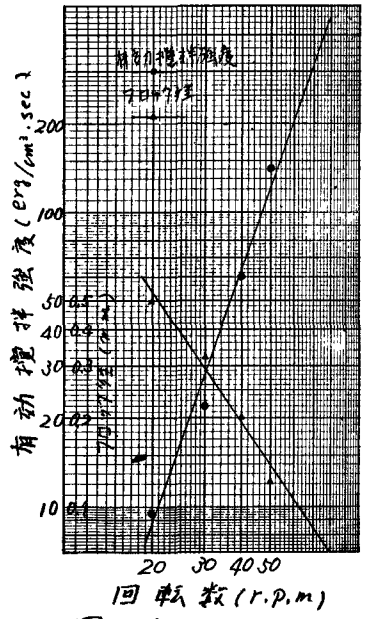


図-6

(cm/sec), x : フロックブランケット下部からの距離 ($x = wt$) (cm), C : フロックブランケット内部に沿うる懸浮物と母フロックの衝突合一係数。

この式を用いてフロックブランケット内での除去の速さを求めるには、 C , D , N 等を知りなければならない。

i) V_f/D の推定、直接 N , D を高濃度の懸濁液について求めるのは不可能なので、フロック体積比 V_f を定義で求め、経りを推定して V_f/D も D/N の代りに使用するとよい。ここで問題となるのは D を求めるることである。直接写真撮影は高濃度のためにほとんど不可能であるから次の様な便法によるとした。

図-7は同一条件下で作られたブランケットのフロック体積率と工界流速の関係を示すもので、両対数プロットはほぼ 45° の傾きを持つ直線となる。この直線を工界流速の高い方に延長し、フロック体積率が 1%となる点、すなわちフロックが干済現象をしなくなるであろうと思われる点まで外挿するとその時の工界速度はほぼ 1.7 cm/sec である。フロックの密度はほぼ 1.005 程度と仮定するとほぼ 2 mm 程度の粒径となる。そこで V_f/D は二の場合については $V_f/0.2$ と云った値で計算を行はうと良いであろう。

ii) C 値の推定

フロックブランケット厚さ、工界流速(表面負荷率)、流入粒子径を変えて越流処理水の濁度を測定した結果は図-8 のようである。この実験データーの内表面負荷率の高いものは流入端の影響を大きく受けた後述するような複雑な場合濁度流出の影響が大きいので、このような影響の最も少ない工界速度 3 cm/min の場合について検討してみよう。

工界原水濁度が 50 度であることを考慮すると実際 $\pm 10 \text{ cm}$ 以内で濁度が除去されており、 $V_f/D = 0.4/\mu_z = 2$ 式-4 に代入して計算すると $C \approx 0.1$ 程度となる。

図中の各工界速度での除去率曲線はいずれも $10^4 \sim 10^5 \text{ erg/cm}^3 \text{ sec}$ と複雑度が相当大きく違つて、小さなフロックを受け入れているにもかかわらず、ブランケット厚さと除去の関係に影響を及ぼしていない。このことから一応フロック形成を行なった粒子にあっては 0.1 程度の衝突率をほとんどの

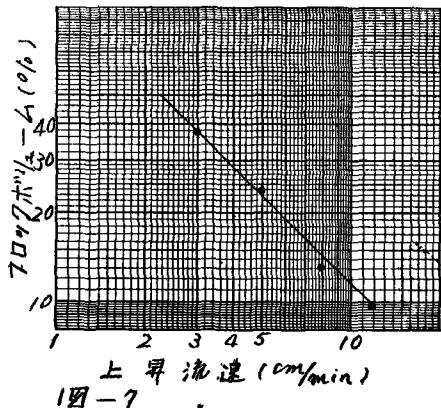
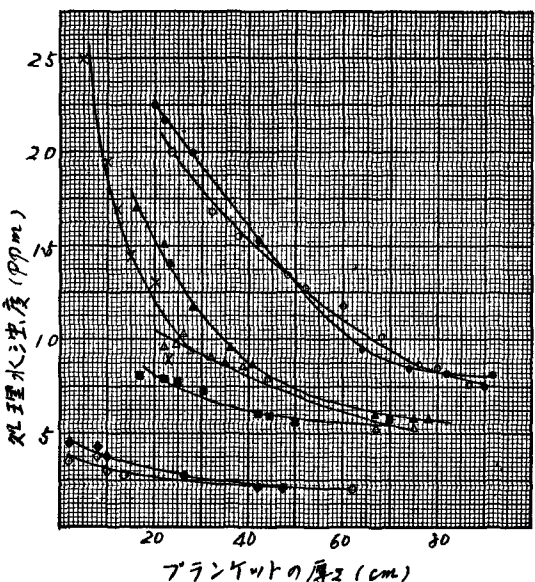


図-7.



	A	B	C	D	E	F	G	H
上界流速 cm/min	12	12	8	8	5	3	3	3
回転数 rpm	8	20	20	20	20	80	40	0

の場合考えてよい事が知られる。この二点からフロックブランケットの理論厚さは工界速度が十数cm/minとなりフロック体積率が10%位に下つても高々数cmあれば良い。

しかしながらH曲線で示されるように全くフロック形成を行なはず2分間の急速搅拌のみでマイクロフロックが下部から懸濁液を流入させた場合には係数Cの値はひじりしく小さくなり、前と同様の計算を行なうと $C \approx 0.005$ となり、充分な除去を得るためにには相当厚いブランケット層を要する事を示す。

3-5 フロックブランケット層を決定する要素

図-8にみられる実験結果中、表面廃荷率をあげたもののブランケット層厚に伴う除去率の向上はきわめてゆく、前述の二つの方法でCを計算すると極端に小さな値となる。衡突係数Cの値は、衝突する粒子径が大きいほど、また粒子相互の相対速度が大きいほど大きな値を持つことが定性的に知られており、その点からはH曲線より小さなC値をA～E曲線が示すことはありえない。

そこで、この実験における高い工界流速における、フロックブランケット層の増大に伴う除去効率の向上は、低いC値による、すなはちブランケット内における衡突率の減少に伴うものではないと考えられる。

次に考えられる要因としては、工界流速の増大によるフロックブランケット内の乱れの増大が本来は静的であるはずの分離界面(フロックブランケット工面)へも乱れを及ぼして、微小フロック粒子の流出を誘引すると云ふことであろう。これを裏づけるものとして、(1) 図-8のA, B, C, E曲線はいずれもフロックブランケット層を増して行なったに極限の除去率が工界流速によって異り、高い工界流速のものほど極限除去率が悪くなる。 (2) 同じ工界流速であればフロック形成度が異なっても極限除去率はほぼ同じであると云ふことがA曲線とF, G曲線からも推定できるし、また、A, BおよびD, F曲線などからも理解できる。(3) 原水濃度を大目に変えても図-9に示されるように極限の除去率は同じような値を示し、ブランケット内での濁度除去は原水濁度量に全く無関係に見える。このことは、吸着がごく底部で終了しているためで(C値が大きい)、整流効果が主としてブランケット層を支配する要因であることを示すものである。

この様に考えると、フロックブランケット型の除去効果を高めるためには往々の様な無操作な底部よりの流入方式ではなく、充分な整流効果をもつた構造を考えること、さらに多チャンネル工界水路の採用等によるブランケット内での乱れの減少に充分の配慮が必要である。

参考文献

- 丹保、フロック形成過程の基礎的研究(I),
(II), (III), 水道協会雑誌 372, 381, 382.

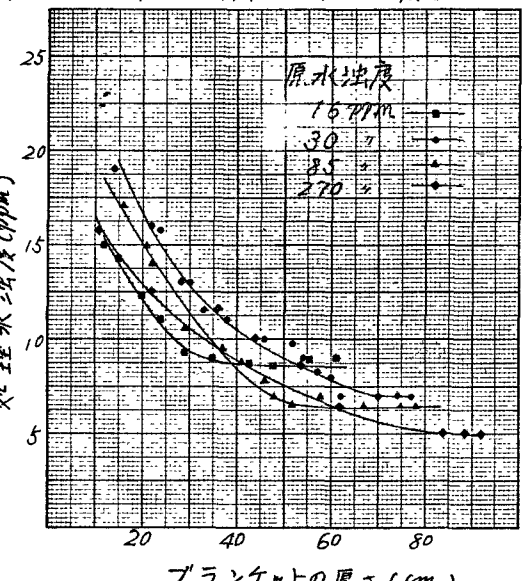


図-9